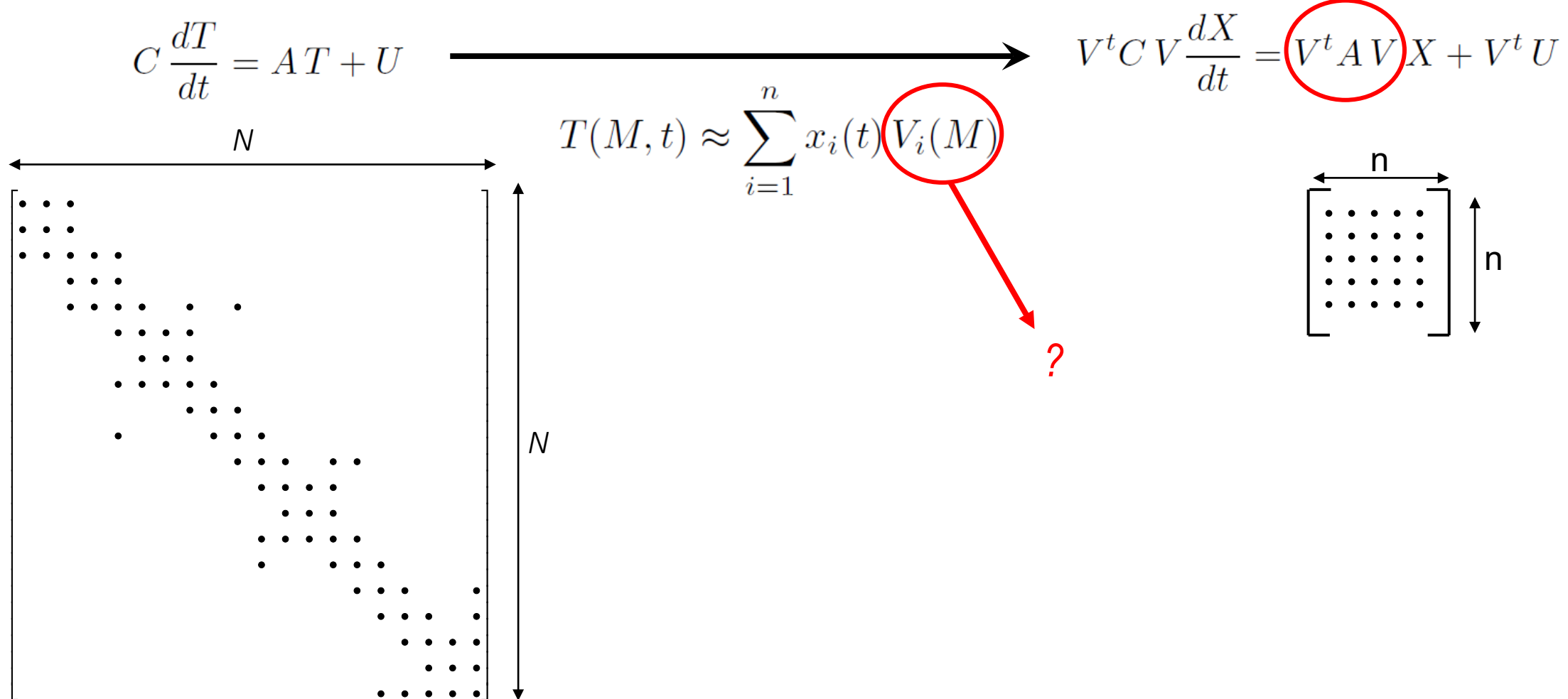


La méthode AROMM en thermique non linéaire : Application aux composants électroniques

F. Mustapha, F. Joly, O. Quéméner

La méthode AROMM

(*Amalgamated Reduced Order Modal Model*)



La méthode AROMM *(Amalgamated Reduced Order Modal Model)*

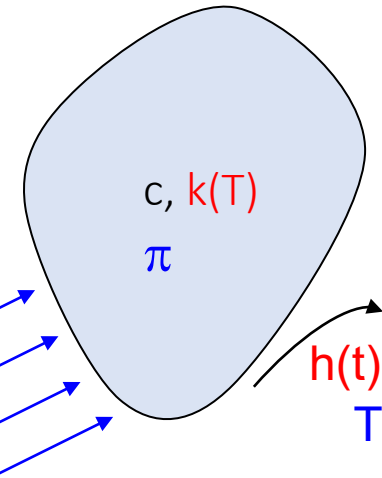
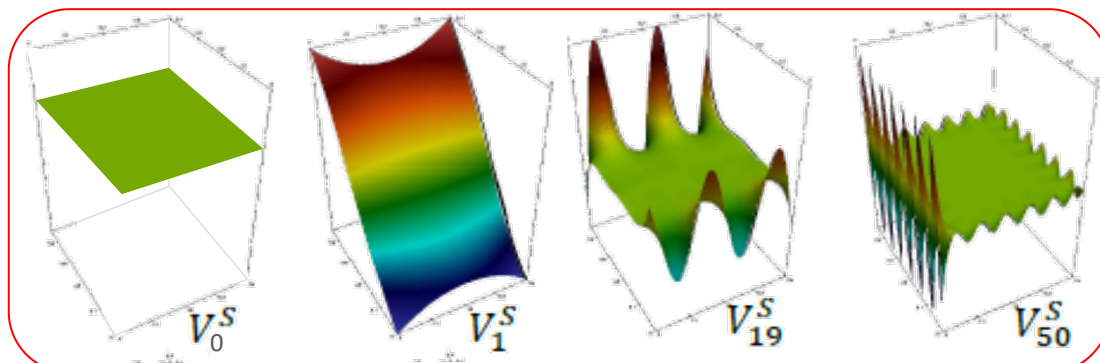
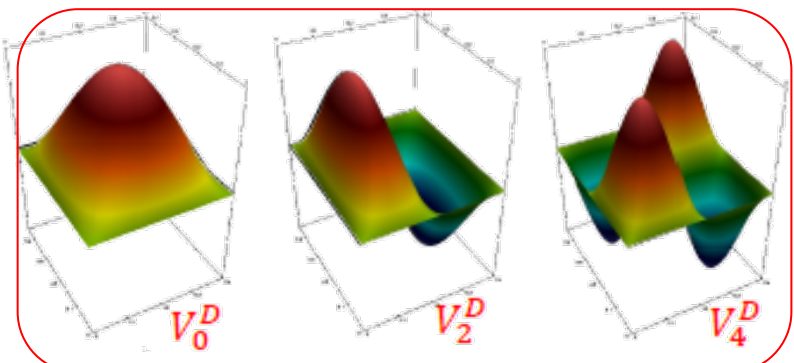
- Pb aux valeurs propres associés au pb physique :

$$\begin{cases} \forall M \in \Omega & : \vec{\nabla} \cdot (k_0 \vec{\nabla} \hat{V}_i^D) = z_i c_0 \hat{V}_i^D \\ \forall M \in \Gamma & : \hat{V}_i^D = 0 \end{cases}$$

Dirichlet

$$\begin{cases} \forall M \in \Omega & , \vec{\nabla} (\vec{\nabla} \hat{V}_i^S) = 0 \\ \forall M \in \Gamma & , k_0 \vec{\nabla} \hat{V}_i^S \cdot \vec{n} = -z_i \zeta \hat{V}_i^S \end{cases}$$

Steklov



$$T(M, t) \approx \sum_{i=1}^{n \ll N} x_i(t) V_i(M) \text{ dans } H^1$$

La méthode AROMM *(Amalgamated Reduced Order Modal Model)*

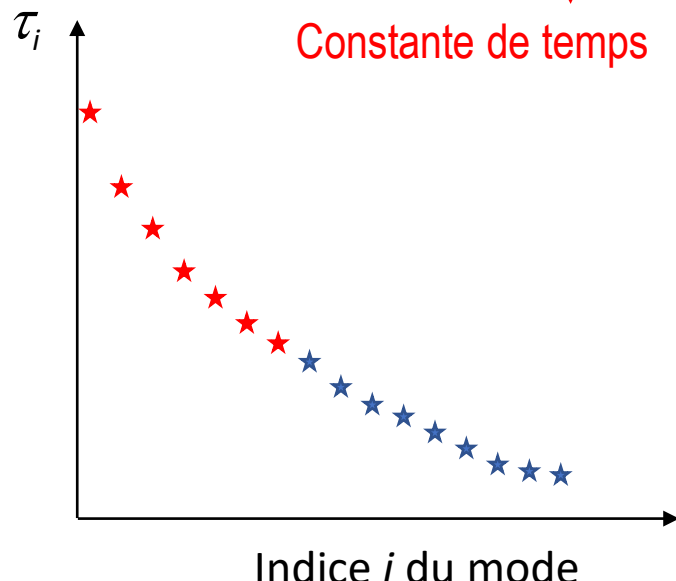
➤ Réduction de la base

$$\begin{cases} \forall M \in \Omega & : \quad \vec{\nabla} \cdot (k_0 \vec{\nabla} \hat{V}_i^D) = z_i c_0 \hat{V}_i^D \\ \forall M \in \Gamma & : \quad \hat{V}_i^D = 0 \end{cases}$$

$$\begin{cases} \forall M \in \Omega & , \quad \vec{\nabla} (\vec{\nabla} \hat{V}_i^S) = 0 \\ \forall M \in \Gamma & , \quad k_0 \vec{\nabla} \hat{V}_i^S \cdot \vec{n} = -z_i \zeta \hat{V}_i^S \end{cases}$$

Dirichlet (10%)

Steklov (10%)

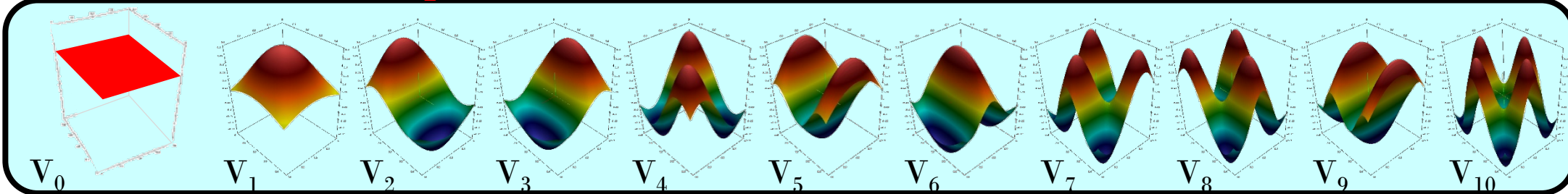


Constante de temps $\tau_i = \frac{-1}{z_i}$

$$T(M, t) \approx \sum_{i=1}^{n_i << N} x_i(t) V_i(M)$$

La méthode AROMM

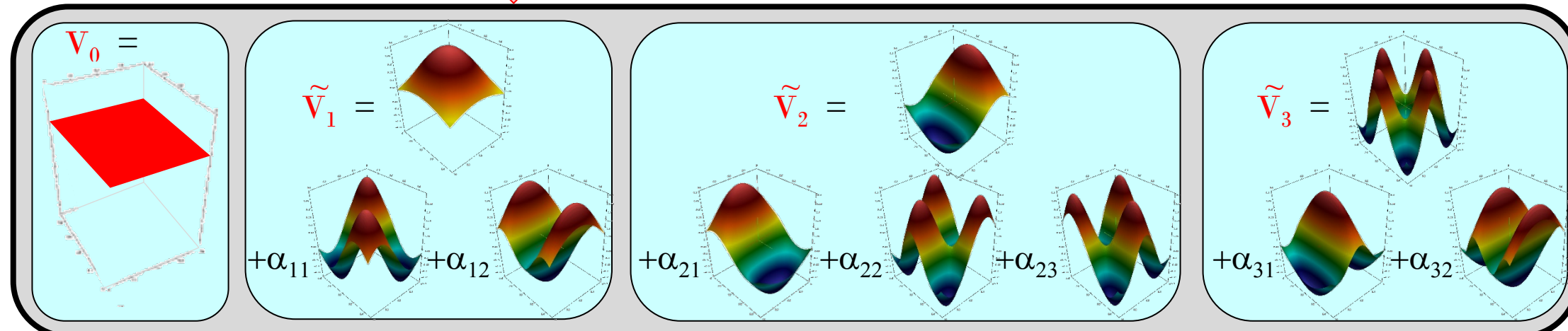
Base tronquée (n_1) (*Amalgamated Reduced Order Modal Model*)



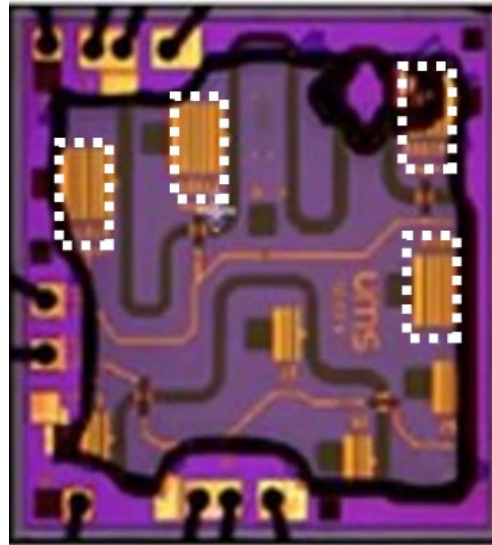
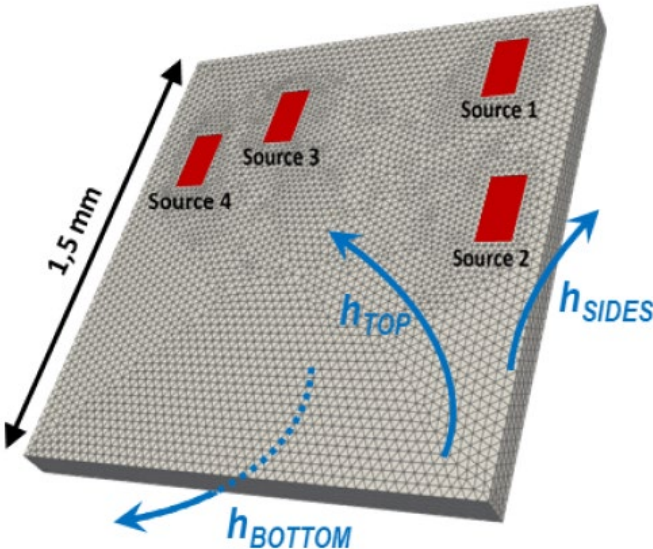
Méthode par
Amalgame

⚠ T_{REF} nécessaire !!

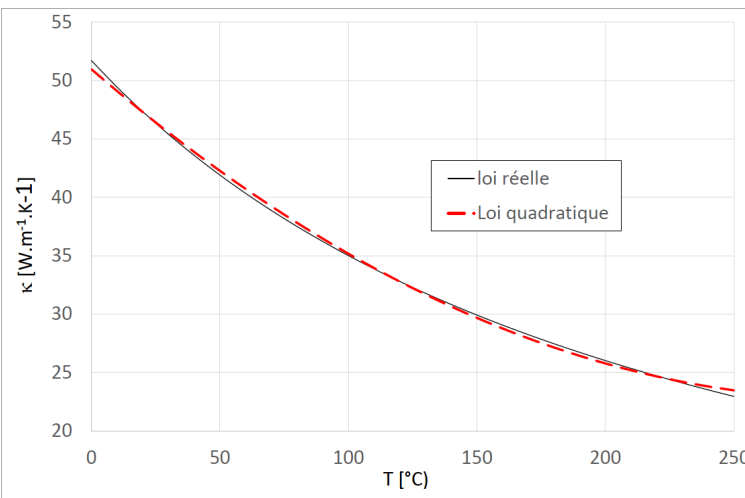
Base réduite (n)



Application : puce électronique THALES



27 000 DDL



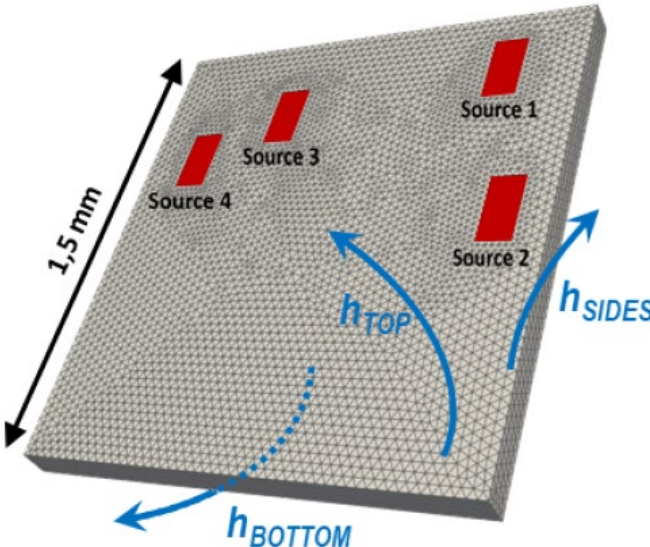
- Activation des sources :
 - ✓ variable au cours du temps
 - ✓ indépendantes les unes des autres
- Une multitudes de scénarios de refroidissement par les faces :

$$10 < h < 10\,000 \text{ W.m}^{-2}.\text{K}^{-1} \text{ (JEDEC)}$$

- Dépendance forte de la conductivité du silicium à la température :

$$\kappa(T) = \kappa_0 + \kappa_1 T + \kappa_2 T^2$$

Application : puce électronique THALES



27 000 DDL

Modèle complet : $C \frac{dT}{dt} = [K(T) + H] T + U$

Modèle réduit : $C_R \frac{dX}{dt} = [K_R(T) + H_R] X + U_R$

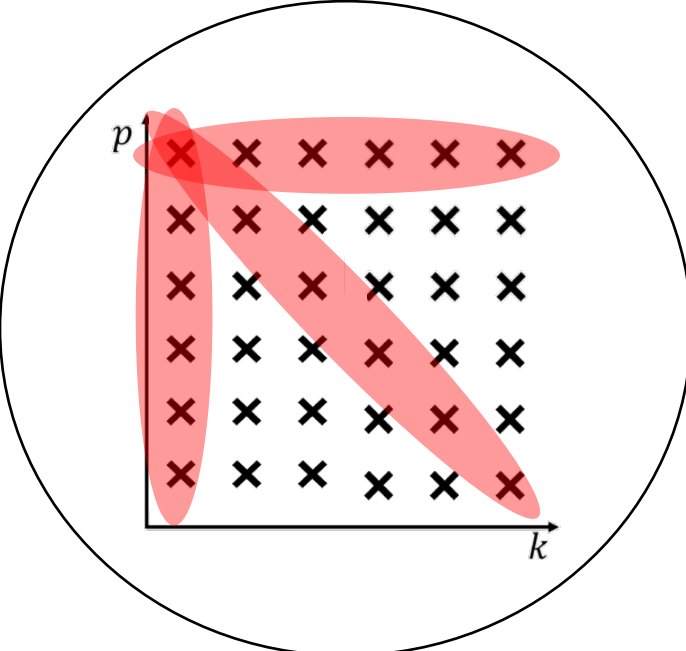
$V^t K(T) V$



50 modes

Calcul long !

Application : puce électronique THALES



Modèle complet : $C \frac{dT}{dt} = [K(T) + H] T + U$

Modèle réduit : $C_R \frac{dX}{dt} = [K_R(X) + H_R] X + U_R$

$$\kappa(T) = \kappa_0 + \kappa_1 T + \kappa_2 T^2$$

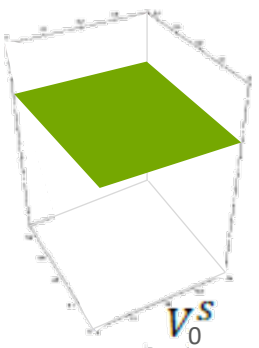
$$T(M, t) \approx \sum_{i=1}^n x_i(t) V_i(M)$$

$$K_R(T)(i, j) = \int_{\Omega} \kappa_0 \nabla \tilde{V}_i \cdot \nabla \tilde{V}_j + \int_{\Omega} \kappa_1 T \nabla \tilde{V}_i \cdot \nabla \tilde{V}_j + \int_{\Omega} \kappa_2 T^2 \nabla \tilde{V}_i \cdot \nabla \tilde{V}_j$$

$$\sum_{k=1}^n x_k \int_{\Omega} \kappa_0 V_k \nabla V_i \nabla V_j$$

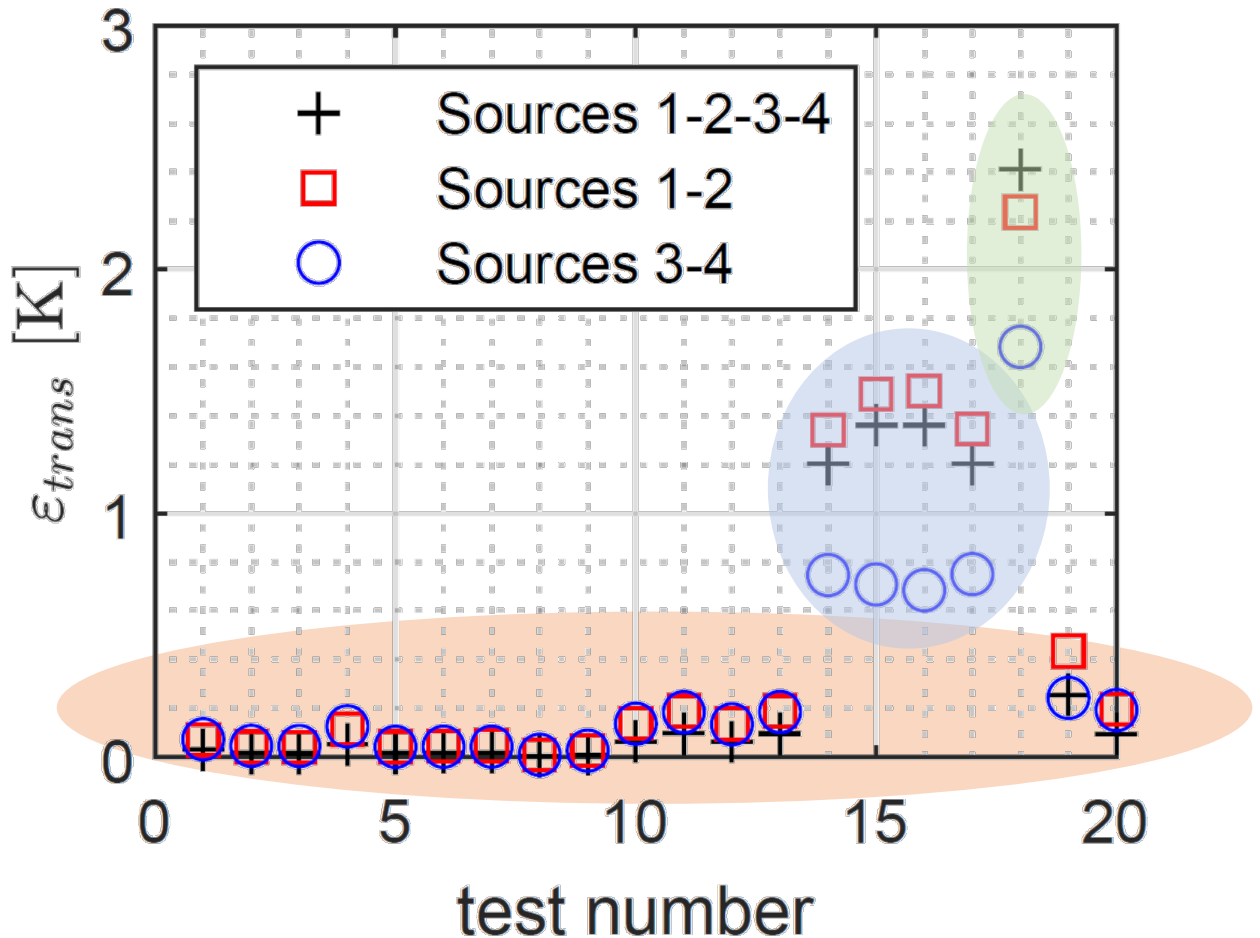
$$\sum_{k=1}^n \sum_{p=1}^n x_k x_p \int_{\Omega} \kappa_1 V_k V_p \nabla V_i \nabla V_j$$

Domaine homogène : $2n - 1$ Matrices réduites à stocker



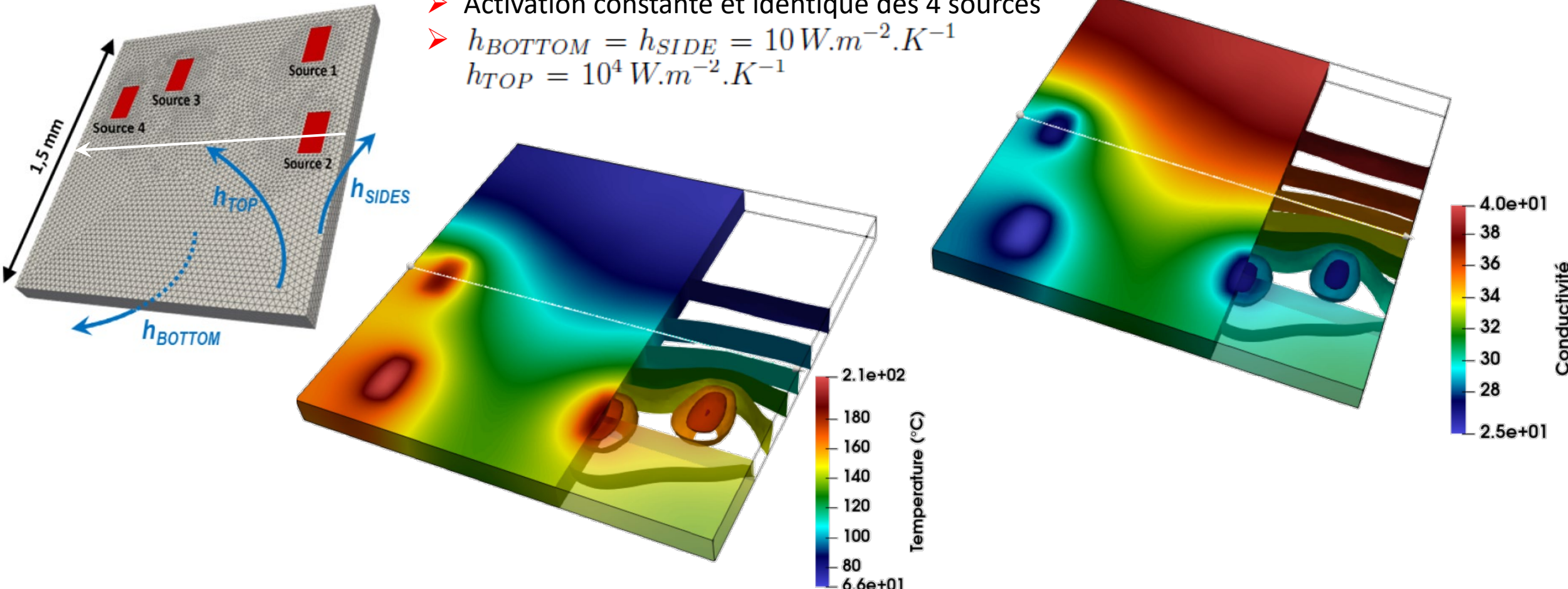
Application : puce électronique THALES

case	h_{TOP} (W.m $^{-2}$.K $^{-1}$)	h_{BOTTOM} (W.m $^{-2}$.K $^{-1}$)	h_{SIDES} (W.m $^{-2}$.K $^{-1}$)
1	100	100	100
2	100	1	100
3	1	100	100
4	200	200	200
5	50	50	50
6	10	100	10
7	100	10	10
8	10	10	10
9	30	30	30
10	500	10	10
11	1000	10	10
12	10	500	10
13	10	1000	10
14	10000	10	10
15	10	10000	10
16	1	10000	1
17	10000	1	1
18	10000	10000	10000
19	1000	1000	1000
20	500	500	500

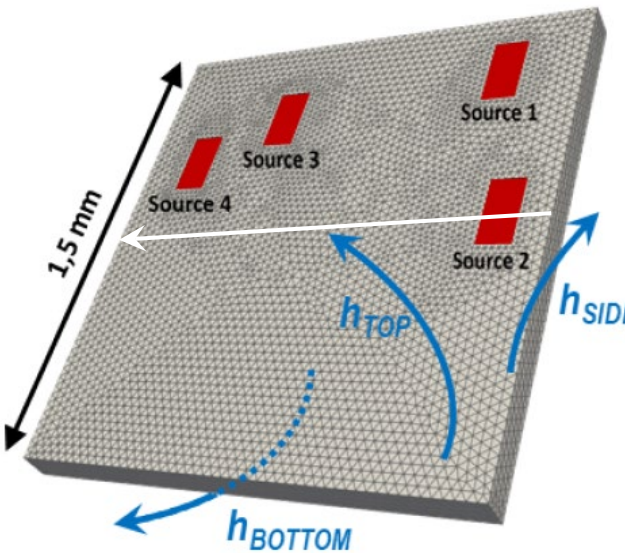


Application : puce électronique THALES

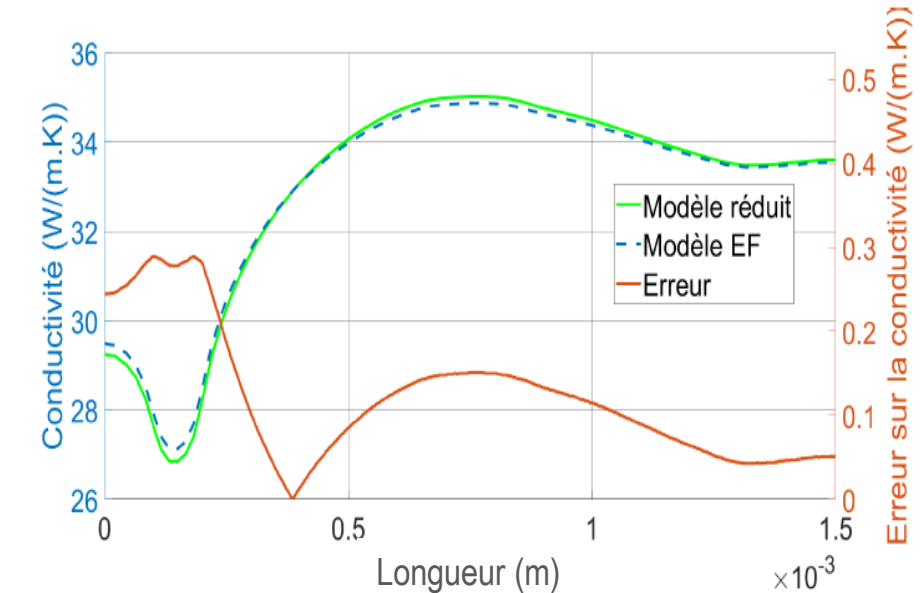
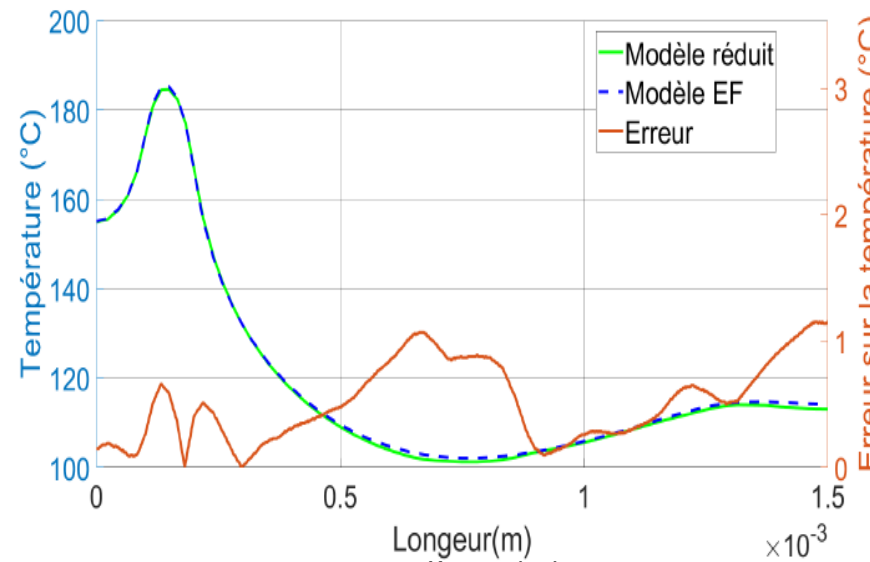
- Activation constante et identique des 4 sources
- $h_{BOTTOM} = h_{SIDE} = 10 \text{ W.m}^{-2}.K^{-1}$
- $h_{TOP} = 10^4 \text{ W.m}^{-2}.K^{-1}$



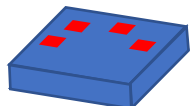
Application : puce électronique THALES



- Activation constante et identique des 4 sources
- $h_{BOTTOM} = h_{SIDE} = 10 \text{ W.m}^{-2}.K^{-1}$
- $h_{TOP} = 10^4 \text{ W.m}^{-2}.K^{-1}$



Composant seul



27 000 DDL

La méthode AROMM

(*Amalgamated Reduced Order Modal Model*)

➤ Offline :

- Résolution de 2 problèmes aux valeurs propres : 10% des 2 bases
- Amalgame :
 - ✓ estimation de cas de référence (linéaires)
 - ✓ Constitution des bases amalgamées
- Création du modèle réduit (construction des matrices réduites)

- 3 à 5 fois le temps calcul d'une simulation complète

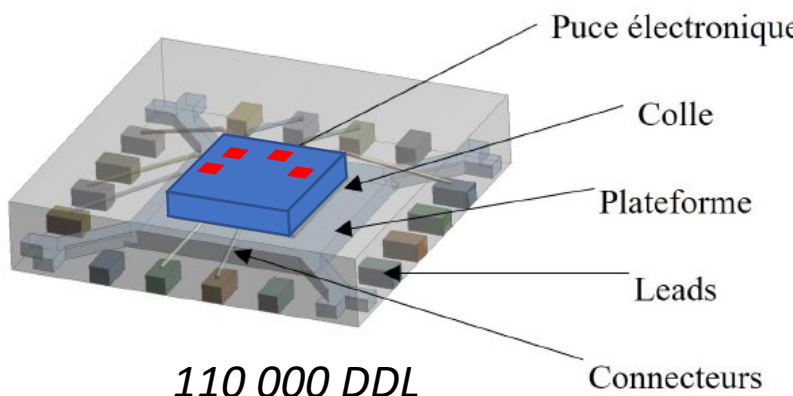
➤ Online

- Résolution rapide du modèle réduit
- Reconstruction du champ de température

- Non linéarité quadratique
- Large spectre de scénarios

- 300 fois + rapide qu'une simulation complète
- Précision ~ 1%

Composant intégré dans son boîtier



La méthode AROMM (*Amalgamated Reduced Order Modal Model*)

➤ Offline :

- Résolution de 2 problèmes aux valeurs propres : **100%** des 2 bases
- Amalgame :
 - ✓ estimation de cas de référence (linéaires)
 - ✓ Constitution des bases amalgamées
- Création du modèle réduit (construction des matrices réduites)

- ~ 280 fois le temps calcul d'une simulation complète

➤ Online

- Résolution rapide du modèle réduit
- Reconstruction du champ de température

- Non linéarité quadratique
- Large spectre de scénarios

- Méthode de sous-structuration

- 300 fois + rapide qu'une simulation complète
- Précision ~ 1%

Journée SFT 16 juin 2025 : Apport des modèles réduits dans la modélisation des transferts thermiques

La méthode AROMM
(*Amalgamated Reduced Order Modal Model*)

Merci !